

УДК 548.736+546.92+546.719+543.226+539.26

ИССЛЕДОВАНИЕ ПРОДУКТА ТЕРМОБАРИЧЕСКОЙ ОБРАБОТКИ Pt_{0,25}Os_{0,75}

© 2008 С.А. Громилов^{1*}, Т.В. Дьячкова², А.П. Тютюнник², Ю.Г. Зайнулин²,
А.И. Губанов¹, С.В. Черепанова³

¹Институт неорганической химии им. А.В. Николаева СО РАН, Новосибирск

²Институт химии твердого тела УрО РАН, Екатеринбург

³Институт катализа им. Г.К. Борескова СО РАН, Новосибирск

Статья поступила 10 сентября 2007 г.

Методом рентгеновской дифрактометрии поликристаллов изучены продукты термобарической обработки (1,5–2 ГПа, 2000 °C, 3 мин) неравновесного твердого раствора Pt_{0,25}Os_{0,75}. Оценка составов обнаруженных фаз проведена на основе данных количественного рентгенофазового анализа, энергодисперсионной спектроскопии и кристаллохимического анализа известных фаз Pt_xOs_{1-x}.

Ключевые слова: платина, осмий, твердый раствор, поликристалл, высокие давления и температуры, рентгенографическое исследование, кристаллохимический анализ.

ВВЕДЕНИЕ

В работах [1—3] был изучен ряд высокодисперсных фаз Pt_xOs_{1-x}, полученных путем термолиза двойных комплексных солей. Среди них были и неравновесные твердые растворы с x в интервале от 0,2 до 0,8, которые согласно фазовой диаграмме Pt—Os [4] попадают в двухфазную область. Максимальная растворимость Os в Pt составляет 25 % (ат.), растворимость Pt в Os не превышает 9,3 % (ат.). Представлялось интересным проследить за возможными изменениями структуры неравновесных твердых растворов при повышении температуры и выяснить, действительно ли они являются неравновесными. В работе [5] с этой целью была проведена термобарическая обработка (давление 1 ГПа) неравновесной фазы Re_{0,3}Ir_{0,7}, построенной на основе гексагональной плотноупакованной (ГПУ) структуры рения. В результате эксперимента она перешла в равновесную гранецентрированную кубическую (ГЦК) фазу на основе иридия. Несмотря на высокие температуры плавления рения и иридия (> 2500 °C), указанное превращение прошло при температуре всего 1900 °C. В используемой схеме проведения эксперимента давление является необходимым условием, без которого невозможен нагрев образца (пределенная температура 2000 °C).

Цель настоящей работы — получение неравновесных твердых растворов Pt_xOs_{1-x} ($x = 0,25, 0,4$) и исследование их стабильности при термобарической обработке. По составу оба попадают в двухфазную область фазовой диаграммы [4].

ЭКСПЕРИМЕНТАЛЬНАЯ ЧАСТЬ

В качестве предшественников для получения Pt_{0,25}Os_{0,75} и Pt_{0,40}Os_{0,60} использованы соли (NH₄)₂[PtCl₆]_{0,25}[OsCl₆]_{0,75} и (NH₄)₂[PtCl₆]_{0,40}[OsCl₆]_{0,60}. Способ их синтеза подробно описан в [3].

Продукт термолиза (NH₄)₂[PtCl₆]_{0,25}[OsCl₆]_{0,75} был исследован на дифрактометре STOE с использованием малого позиционно-чувствительного детектора (CuK_{α1}-излучение, шаг 0,02°

* E-mail: grom@che.nsk.su

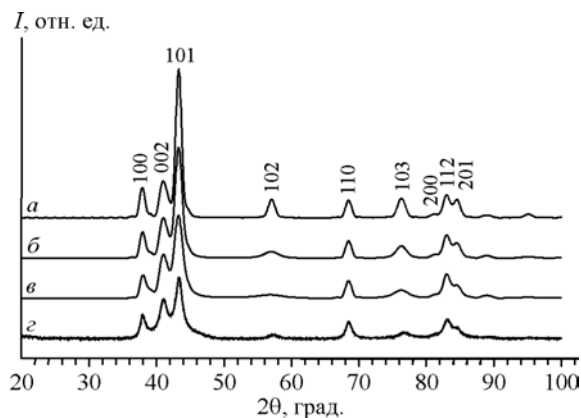


Рис. 1. Дифрактограммы $\text{Pt}_{0,25}\text{Os}_{0,75}$ рассчитанные для идеальной ГПУ структуры — a , ГПУ структуры, содержащей ДУ с $\alpha = 0,1$ — b , ГПУ структуры, содержащей ДУ с $\alpha = 0,2$ — c , экспериментальная дифрактограмма — g

грамма имеет заметные особенности, а именно, пики 102 и 103 шире остальных (рис. 1, *г*). Это свидетельствует о наличии дефектов упаковки (ДУ), т.е. о разупорядочении последовательности слоев *ABAB...*, характерной для ГПУ структуры. Последовательность слоев *ABAB...* может быть получена смещением одного слоя на вектор $\mathbf{T}_1 = (2/3, 1/3)$, а затем на $\mathbf{T}_2 = (1/3, 2/3)$. Наличие ДУ приводит к тому, что после способа наложения \mathbf{T}_1 идет способ наложения \mathbf{T}_1 или после \mathbf{T}_2 идет \mathbf{T}_2 . Таким образом, в упаковке появляется фрагмент ГЦК структуры *ABABCBCB...*. Моделирование дифракционных картин для ГПУ структуры без ДУ (см. рис. 1, *а*), а также с концентрацией ДУ $\alpha = 0,1$ (см. рис. 1, *б*) и $\alpha = 0,2$ (см. рис. 1, *в*) было проведено по программе [6]. Наличие ДУ заметно не влияет на ширину некоторых пиков (002, 110, 200, 004, 210). По этим пикам были определены размеры ОКР: 70 Å в направлении [001] и 100 Å в направлении [*hk*0]. В то же время остальные пики уширяются в разной степени, особенно пики 102 и 103. Лучшее соответствие экспериментальной и расчетной дифрактограмм получено при концентрации ДУ $\alpha \sim 0,2$.

Термобарическую обработку Pt_{0,25}Os_{0,75} проводили на гидравлическом прессе ДО-137А со стандартной камерой высокого давления типа "тороид" (аналог наковален Бриджмена [7]). Исходный порошок плотно набивали в графитовый стаканчик, служащий одновременно нагревателем, и помещали в контейнер, изготовленный из литографского камня (известняк). В основу экспериментов был положен метод закалки под давлением. Подробно эта методика описана в [5]. Условия проведения эксперимента: давление 1,5—2 ГПа, температура 2000° С, время выдержки 3 мин. В результате образовались прочные крупные частицы размером 2—3 мм, которые удалось разрушить и истереть в ступке до мелкодисперсного состояния. Далее будем называть этот образец *А*. Его рентгенографическое исследование проведено на дифрактометре ДРОН-RM4 (CuK_α-излучение, Ni-фильтр, шаг 0,05° 2θ, время накопления 20 с), дифрактограмма показана на рис. 2. В образце обнаружены две металлические фазы — ГЦК и ГПУ. Количественный РФА и уточнение параметров элементарных ячеек проведены с использованием программы полнопрофильного уточнения PowderCell-2,4 [8]: $R_p = 6,79$, $R_{wp} = 9,17$, $R_{\text{эксп}} = 4,05 \%$. Кристаллографические характеристики ГПУ фазы: $a = 2,737(2)$, $c = 4,340(4)$ Å, $V/Z = 14,08(4)$ Å³; ГЦК фазы: $a = 3,888(2)$ Å, $V/Z = 14,69(5)$ Å³. Массовое соотношение ГЦК/ГПУ = 59/41 %.

Соотношение металлов в *A* было определено методом энергодисперсионной спектроскопии (ЭДС) на электронном микроскопе JEOL JSM-6700F, оснащенном приставкой EX-23000BU. Среднее для пяти измерений в разных областях образца мольное соотношение Pt/Os = 31/69. Отличие от исходного соотношения Pt/Os = 25/75 может быть связано с частичной потерей осмия, так как термобарический эксперимент проводили на воздухе.

Продукт термолиза $(\text{NH}_4)_2[\text{PtCl}_6]_{0,40} [\text{OsCl}_6]_{0,60}$ (далее образец **B**) был исследован на дифрактометре ДРОН-RM4 ($\text{CuK}\alpha$ -излучение, Ni-фильтр, шаг $0,05^\circ$ 20, время накопления 25 с, область углов $\theta 30$ — 130°). По данным РФА он содержит две высокодисперсные фазы. Результаты полнопрофильного уточнения: $R_p = 4,30$, $R_{wp} = 5,56$, $R_{\text{окн}} = 4,34 \%$. Кристаллографические характеристики ГПУ фазы: $a = 2,741(4)$, $c = 4,374(8) \text{ \AA}$, $V/Z = 14,23(8) \text{ \AA}^3$, ОКР 110 \AA ; ГЦК фазы:

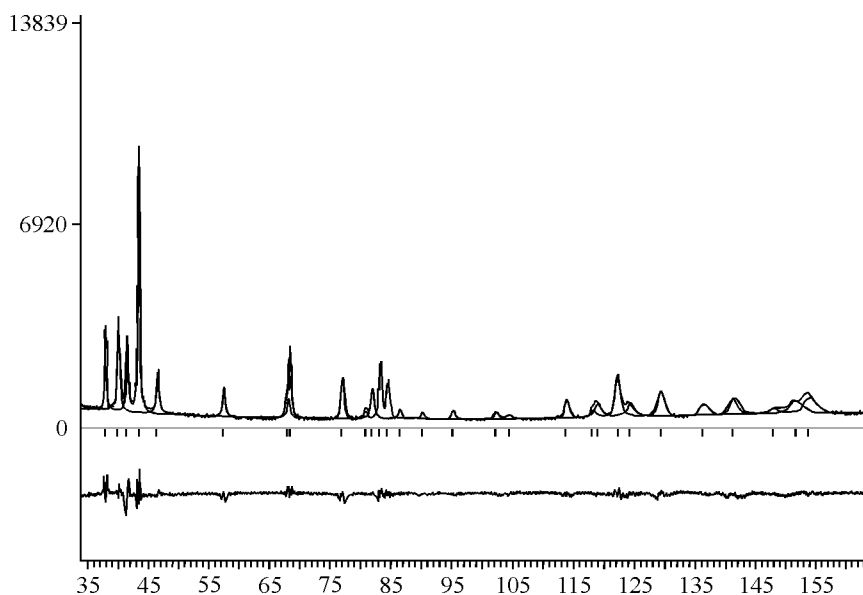


Рис. 2. Дифрактограмма продукта термобарической обработки $\text{Pt}_{0,25}\text{Os}_{0,75}$ (образец *А*).

Штрихи показывают положения линий обнаруженных ГПУ и ГЦК фаз.

Разница между экспериментальной и теоретической дифрактограммой показана внизу

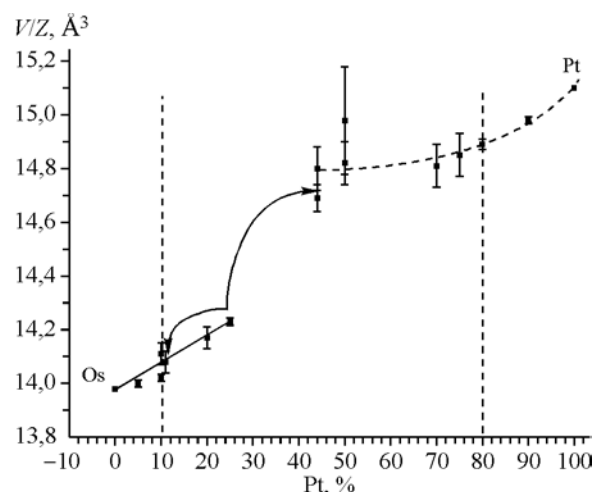
$a = 3,897(3)$ Å, $V/Z = 14,80(8)$ Å³, ОКР 270 Å. Массовое соотношение ГЦК/ГПУ = 77/23. Так как образец *В* оказался не однофазным, его термобарическую обработку не проводили.

ОБСУЖДЕНИЕ РЕЗУЛЬТАТОВ И ВЫВОДЫ

Таким образом, ГПУ фаза $\text{Pt}_{0,25}\text{Os}_{0,75}$, полученная в результате термолиза $(\text{NH}_4)_2[\text{PtCl}_6]_{0,25}[\text{OsCl}_6]_{0,75}$, является неравновесной и дефектной. В результате термобарической обработки она распалась на две металлические фазы (ГЦК и ГПУ). Для оценки их составов проанализируем величины V/Z . В [3] была построена зависимость этой характеристики от состава для всех известных твердых растворов $\text{Pt}_x\text{Os}_{1-x}$ (рис. 3). В области ГПУ фаз ($x \leq 0,2$) экспериментальные точки хорошо следуют прямой, соединяющей значения для Pt и Os (правило Ретгерса). Значение V/Z , полученное для исходной ГПУ фазы $\text{Pt}_{0,25}\text{Os}_{0,75}$, расширяет этот линейный участок до $x \leq 0,25$. В образце *А*, полученным в условиях высокого давления и температуры, согласно характеристике $V/Z = 14,08(4)$ Å³, ГПУ фазе можно приписать состав $\text{Pt}_{0,11}\text{Os}_{0,89}$. По кристаллографическим характеристикам эта фаза действительно близка к сплаву $\text{Pt}_{0,10}\text{Os}_{0,90}$ [9] ($a = 2,7361(7)$ Å, $c = 4,3247(12)$ Å, $V/Z = 14,02$ Å³) и к твердому раствору, образовавшемуся при термолизе $(\text{NH}_4)_2[\text{PtCl}_6]_{0,10}[\text{OsCl}_6]_{0,90}$ [3] ($a = 2,738(2)$ Å, $c = 4,346(3)$ Å, $V/Z = 14,11$ Å³). Параметр a обнаруженной ГЦК фазы в образце *А* аномально мал, ранее таких значений не наблюдалось. Согласно V/Z , такой твердый раствор должен попадать в двухфазную область фазовой диаграммы. Оценка состава этой фазы затруднена, так как характеристики известных

Рис. 3. Зависимость V/Z от состава твердого раствора $\text{Pt}_x\text{Os}_{1-x}$.

Вертикальные пунктирные линии показывают границы фазовой диаграммы. Стрелки ведут к значениям V/Z фаз, обнаруженных в продуктах термобарической обработки образца *А*.



ГЦК фаз с $x > 0,5$ практически совпадают в пределах погрешности измерений. Если ориентироваться на результаты количественного РФА и данные ЭДС, то примерный состав этой фазы $\text{Pt}_{0,45}\text{Os}_{0,55}$.

ГПУ фаза, обнаруженная в продукте **B**, имеет $V/Z = 14,23(4) \text{ \AA}^3$, что совпадает с характеристикой $\text{Pt}_{0,25}\text{Os}_{0,75}$. С учетом результата количественного РФА, состав ГЦК фазы можно оценить как $\text{Pt}_{0,44}\text{Os}_{0,56}$.

Согласно фазовой диаграмме максимальная растворимость Os в Pt составляет всего 25 %, однако составы ГЦК фаз, обнаруженных в образцах **A** и **B**, близки к $\text{Pt}_{0,45}\text{Os}_{0,55}$. Вместе с данными [1—3], где из трех разных предшественников были получены ГЦК фазы $\text{Pt}_{0,5}\text{Os}_{0,5}$, это еще раз указывает на то, что область твердых растворов $\text{Pt}_x\text{Os}_{1-x}$ на основе платины значительно шире, чем принято считать. Работа по уточнению границ фазовой диаграммы Pt—Os будет продолжена.

Авторы выражают благодарность к.х.н. В.А. Емельянову за помощь при получении исходных солей, а также ст. инженеру-технологу А.В. Алексееву и к.х.н. Е.А. Максимовскому за подготовку образцов и проведение исследований на электронном микроскопе JEOL JSM-6700F.

Работа выполнена при поддержке программы Президиума РАН "Разработка методов получения новых химических веществ и создание новых материалов" (Руководитель проекта проф., д.х.н. С.В. Коренев), Интеграционного проекта УрО РАН — СО РАН и гранта Российского фонда фундаментальных исследований 07-03-01038-а.

СПИСОК ЛИТЕРАТУРЫ

1. Губанов А.И., Коренев С.В., Громилов С.А. и др. // Журн. структур. химии. – 2000. – **41**, № 2. – С. 417 – 421.
2. Губанов А.И. Двойные комплексы с тетраминными катионами — предшественники металлических порошков: Автореф. дисс. ... к.х.н. – Новосибирск, 2003.
3. Корольков И.В., Губанов А.И., Юсенко К.В. и др. // Журн. структур. химии. – 2007. – **48**, № 3. – С. 530 – 536.
4. Диаграммы состояния двойных металлических систем. Т. 3. Книга 1. / Под ред. Н.П. Лякишева. – М.: Машиностроение, 2001.
5. Громилов С.А., Корольков И.В., Юсенко К.В. и др. // Журн. структур. химии. – 2005. – **46**, № 3. – С. 487 – 491.
6. Cherepanova S.V., Tsibulya S.V. // J. Molec. Catalysis. – 2000. – **158**. – P. 263 – 266.
7. Брэдли К. Применение техники высоких давлений при исследованиях твердого тела. – М.: Мир, 1972.
8. Kraus W., Nolze G. // J. Appl. Crystallogr. – 1996. – **9**. – P. 301 – 303.
9. Rudman P.S. // J. Less-Common Metals. – 1967. – **12**. – P. 79 – 81.